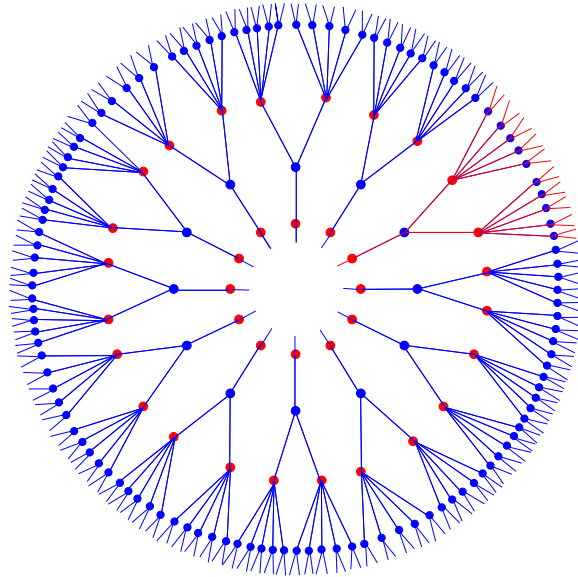


Codes auf bipartiten Graphen



M. Amin Shokrollahi



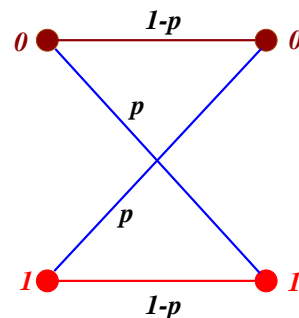
digitalfountain

Übersicht

1. Codes auf bipartiten Graphen
2. Iterative Decodierung
3. Analyse
4. Codierung
5. Kapazitätsoptimalität
6. Anwendungen
7. Offene Fragen

Shannons Sätze (1948)

1. Existenz der **Kapazität** eines Kanals
2. **Existenzbeweis** kapazitätsoptimaler Codes
3. Unter **Maximum likelihood Decodierung**.



$$1 + p \log_2(p) + (1 - p) \log_2(1 - p)$$

Ziel

Wollen

1. Codes, die asymptotisch **kapazitätsoptimal** sind und
2. die Kapazität mittels **effizienter** Decodieralgorithmen erreichen und
3. deren **Decodierkomplexität** nur **moderat** mit der Nähe zur Kapazität zunimmt.

Low-Density Parity Check Codes

Gallager	1963
Zyablov	1971
Zyablov-Pinsker	1976
Tanner	1981
Turbo Codes	1993
Berroux-Glavieux-Thitimajshima	
Sipser-Spielman, Spielman	1995
MacKay-Neal, MacKay	1995
Luby-Mitzenmacher-Shokrollahi-Spielman-Stemann	1997
Luby-Mitzenmacher-Shokrollahi-Spielman	1998
Richardson-Urbanke	1999
Richardson-Shokrollahi-Urbanke	1999

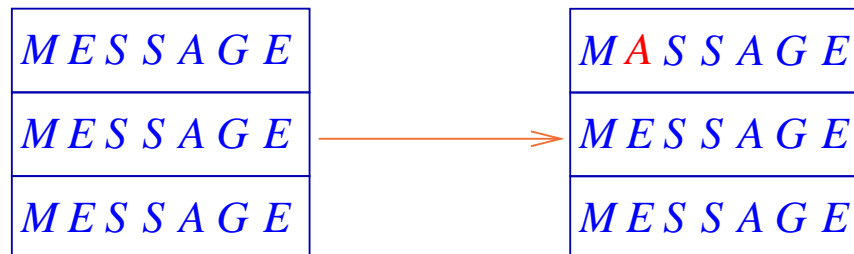
Codes

Informationsübertragung auf verrauschten Kommunikationskanälen.

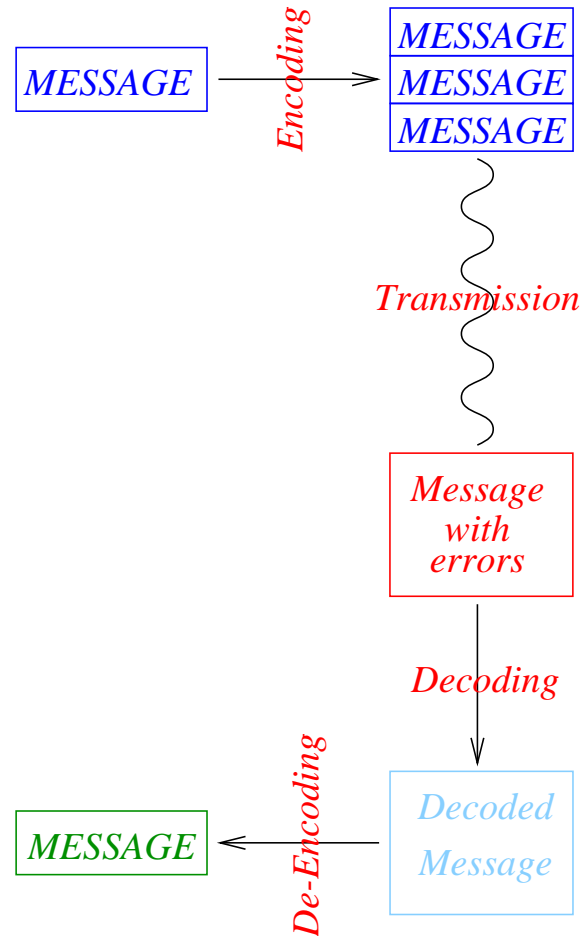
Without coding



With coding



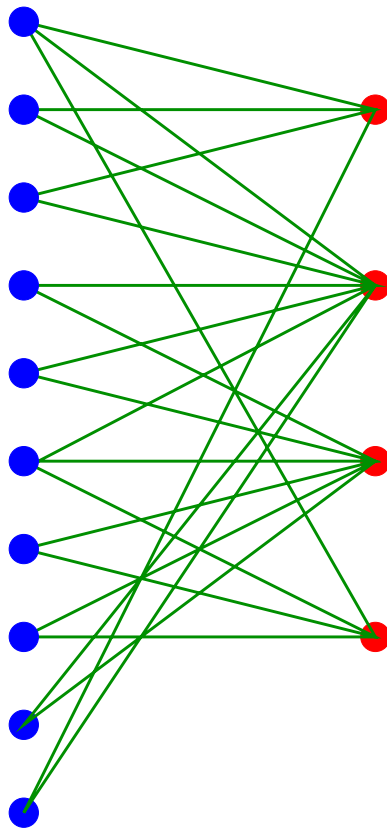
Codierung und Decodierung



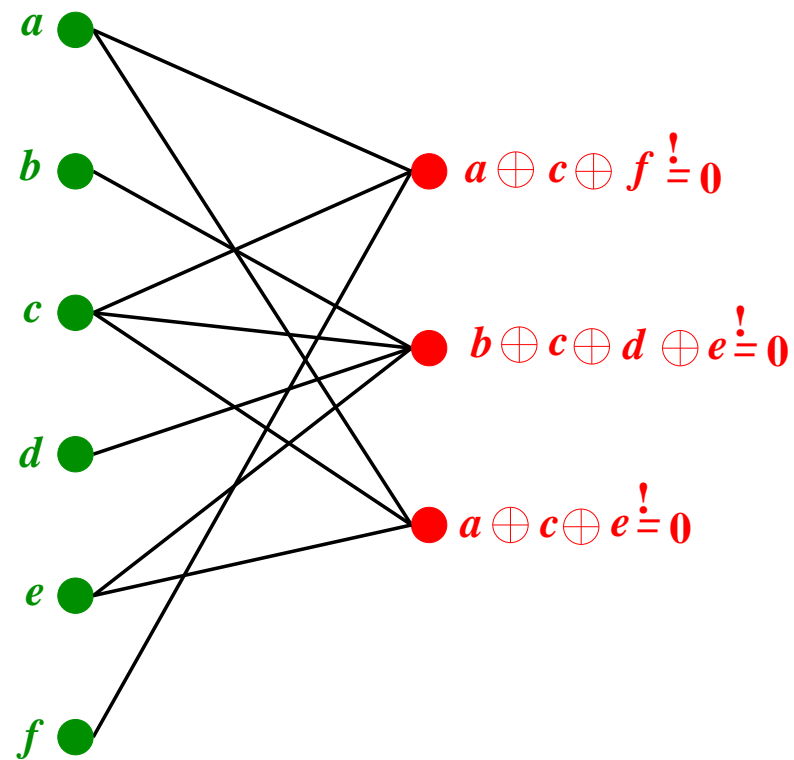
Codierung⁻¹ ≠ Decodierung!

LDPC-Codes

LDPC-Codes werden mittels dünner bipartiter Graphen konstruiert.



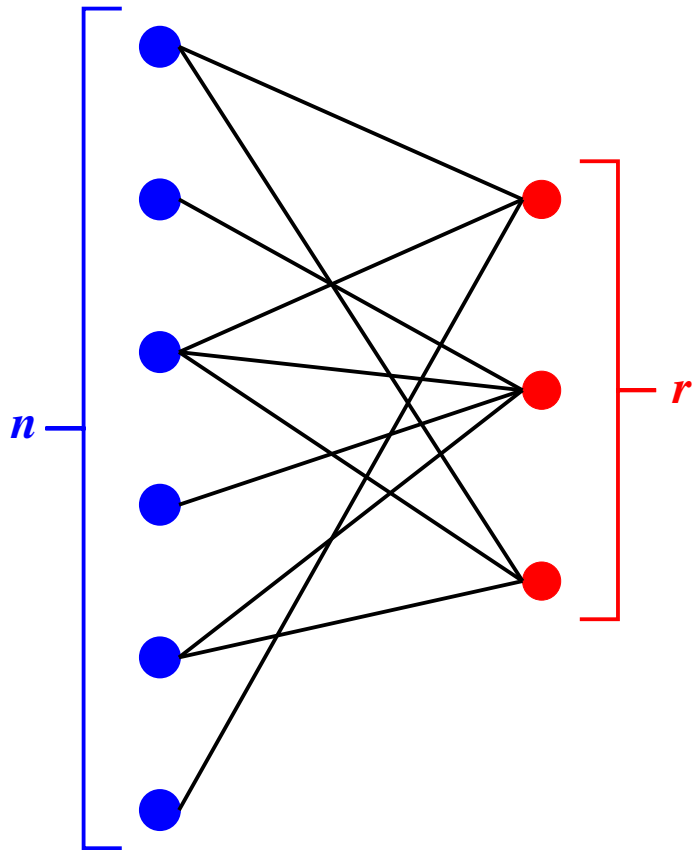
Konstruktion



Jeder **binäre lineare Code** hat eine graphische Darstellung.

Nicht jeder Code kann durch einen **dünnen** Graphen dargestellt werden.

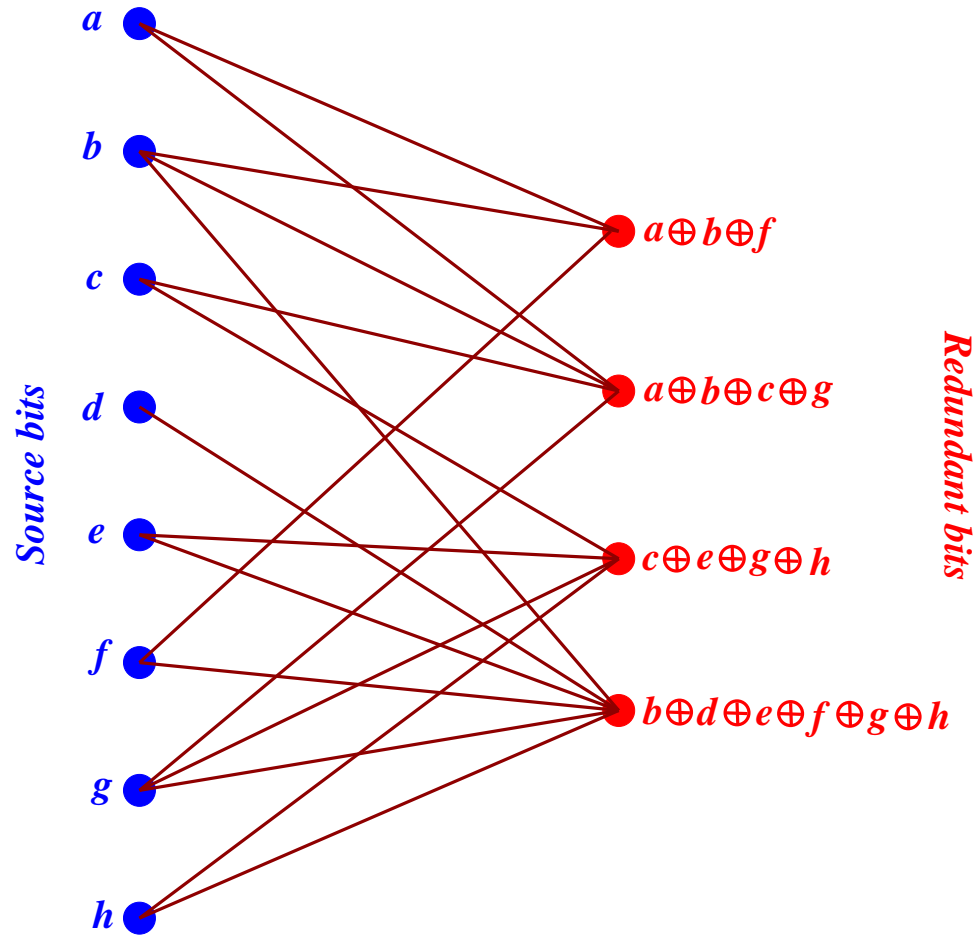
Parameter



$$Rate \geq \frac{n-r}{n}$$

$$Rate \geq 1 - \frac{\text{average left degree}}{\text{average right degree}}$$

Duale Konstruktion



Codierzeit ist proportional zu Anzahl der Kanten.

Konvention

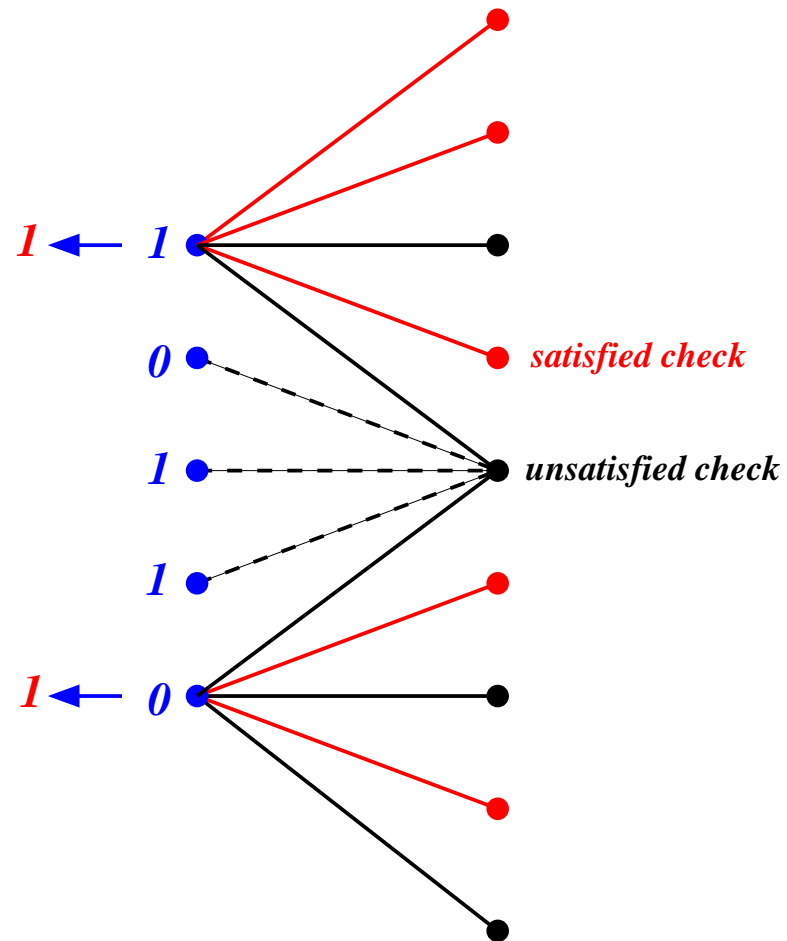
Linke Knoten im Graphen heissen Nachrichtenknoten.

Rechte Knoten im Graphen heissen Check-Knoten.

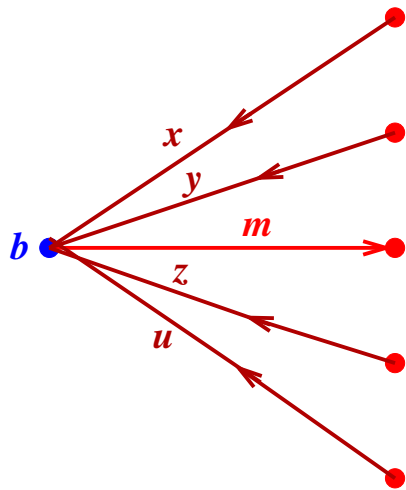
Algorithmische Fragen

- Codierzeit
 - Ist **linear** für die **duale Konstruktion**
 - Ist **quadratisch** (nach Vorbereitung) für die **Gallager Konstruktion**.
Mehr dazu später!
- Decodierung?
 - Hängt vom **Kanal** ab.
 - Hängt von der **Anzahl** der zu korrigierenden Fehler ab.

Decodieren auf dem BSC: Flipping

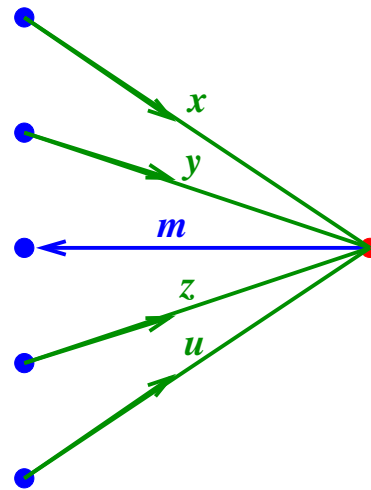


Decodieren auf dem BSC: Gallager Algorithm A (Message passing)



$$m = \begin{cases} x & \text{if } x=y=z=u \\ b & \text{else} \end{cases}$$

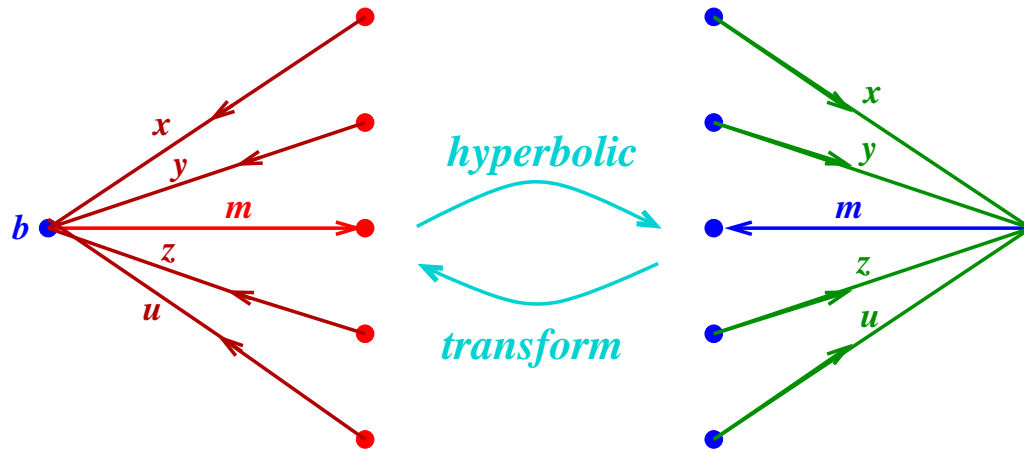
MESSAGE



$$m = x \oplus y \oplus z \oplus u$$

CHECK

Decodieren auf dem BSC: Belief Propagation



$$m = x + y + z + u + b$$

$$m = x * y * z * u$$

$$(a, b) * (c, d) := (a + c, b + d \text{ mod } 2)$$

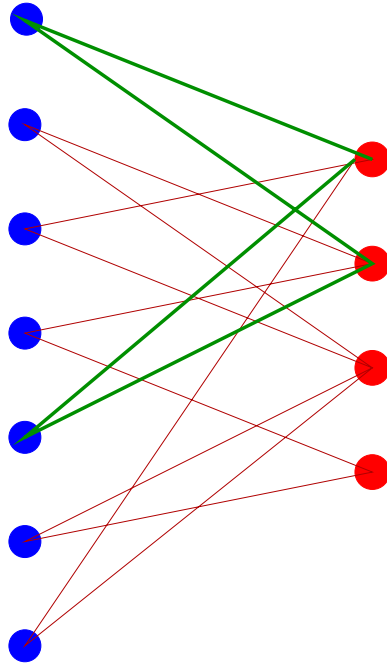
MESSAGE

CHECK

Die Nachrichten sind in Form von **log-likelihood ratios**.

Optimalität von Belief Propagation

Belief propagation ist **bit-optimal**, falls der Graph keine **Zyklen** hat.



Maximiert die **Wahrscheinlichkeit**

$$P(c_m = b | y) = \sum_{c \in C} P(c | y).$$

Qualität von (3,6)-Graphen

Shannon Schranke: 11%

Flipping algorithm: 1%?

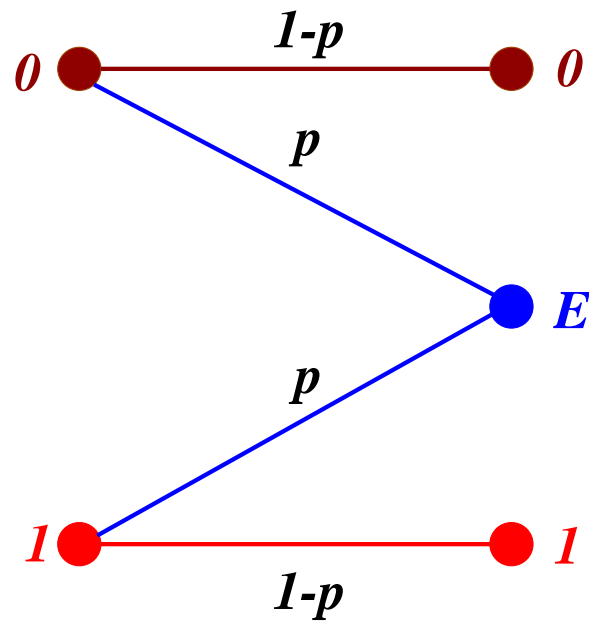
Gallager A: 4%

Gallager B: 4% (6.27%)

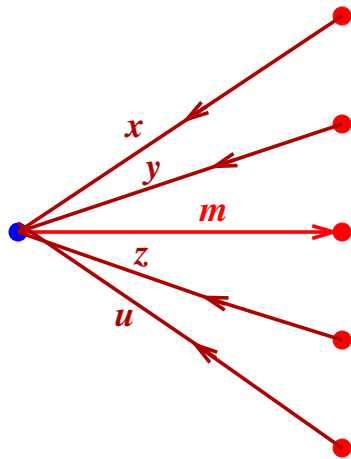
Erasure decoder: 7%

Belief propagation: 8.7% (10.8%)

Der binäre Auslöschungskanal (BEC)

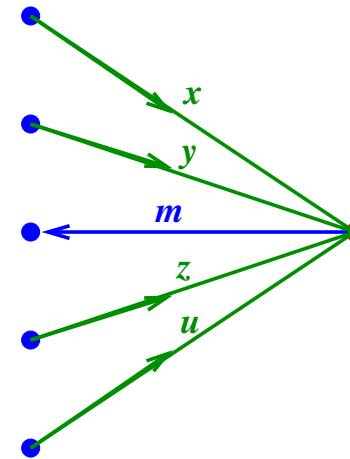


Decodieren auf dem BEC: Luby-Mitzenmacher-Shokrollahi-Spielman-Stemann



$$m = \begin{cases} 1 & \text{if } x \vee y \vee z \vee u = 1 \\ 0 & \text{else} \end{cases}$$

MESSAGE

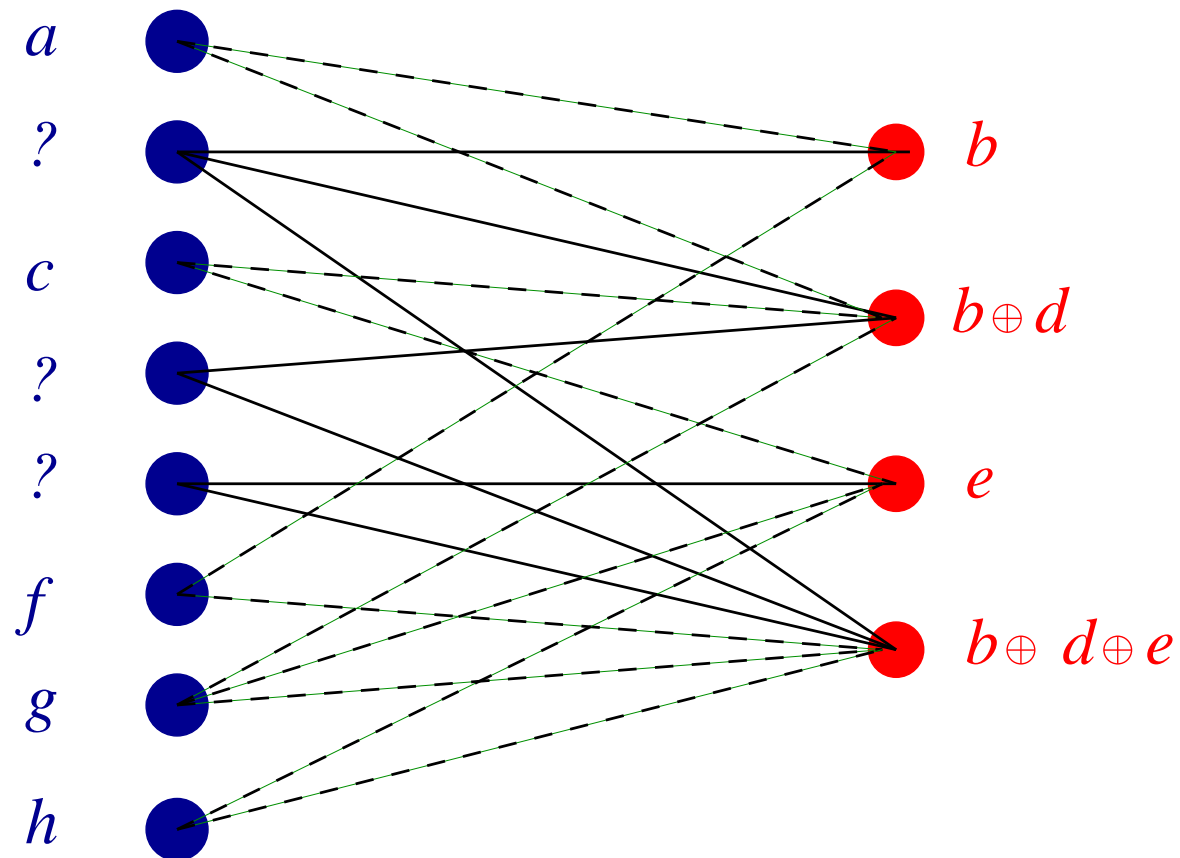


$$m = \begin{cases} 1 & \text{if } x = y = z = u = 1 \\ 0 & \text{else} \end{cases}$$

CHECK

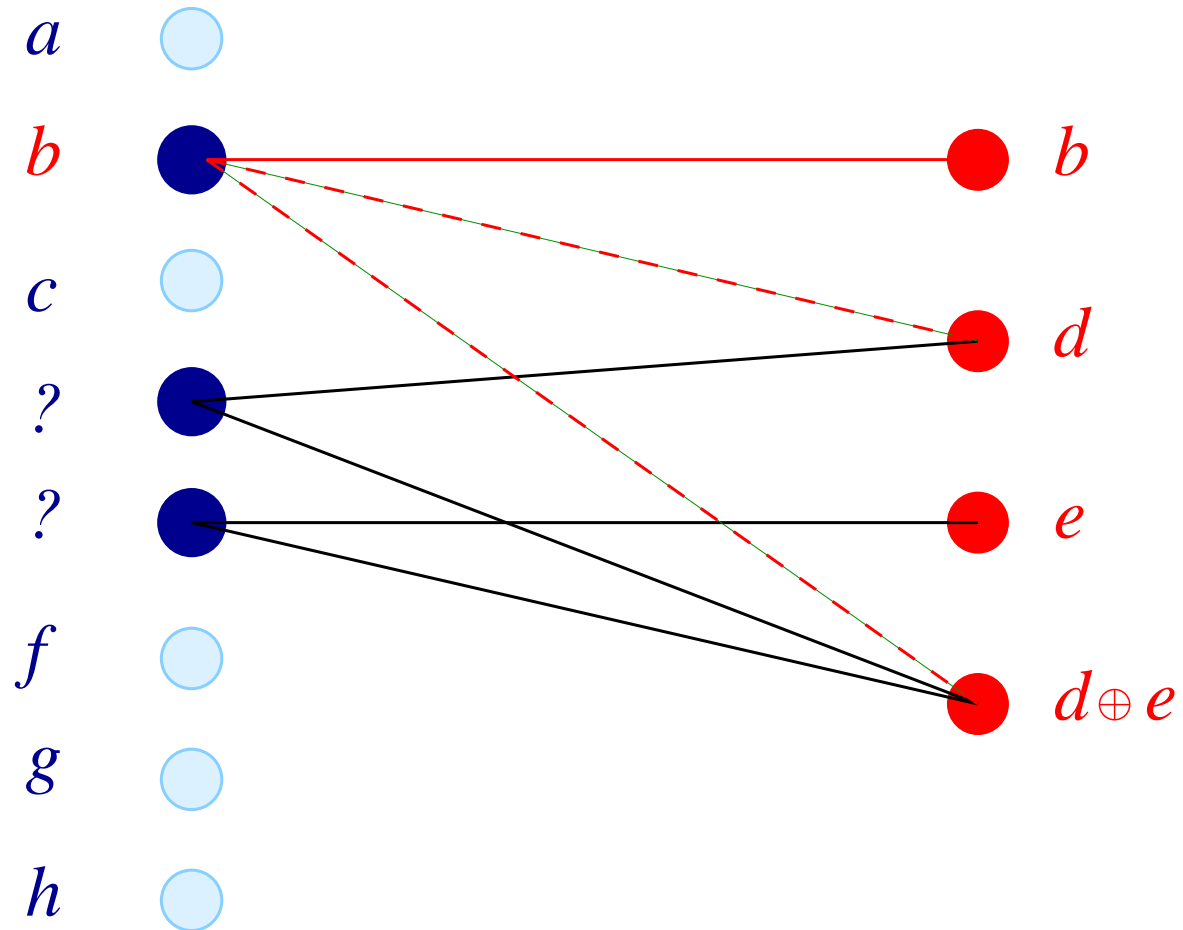
Decodieren auf dem BEC

Phase 1: Direkte Brechnung

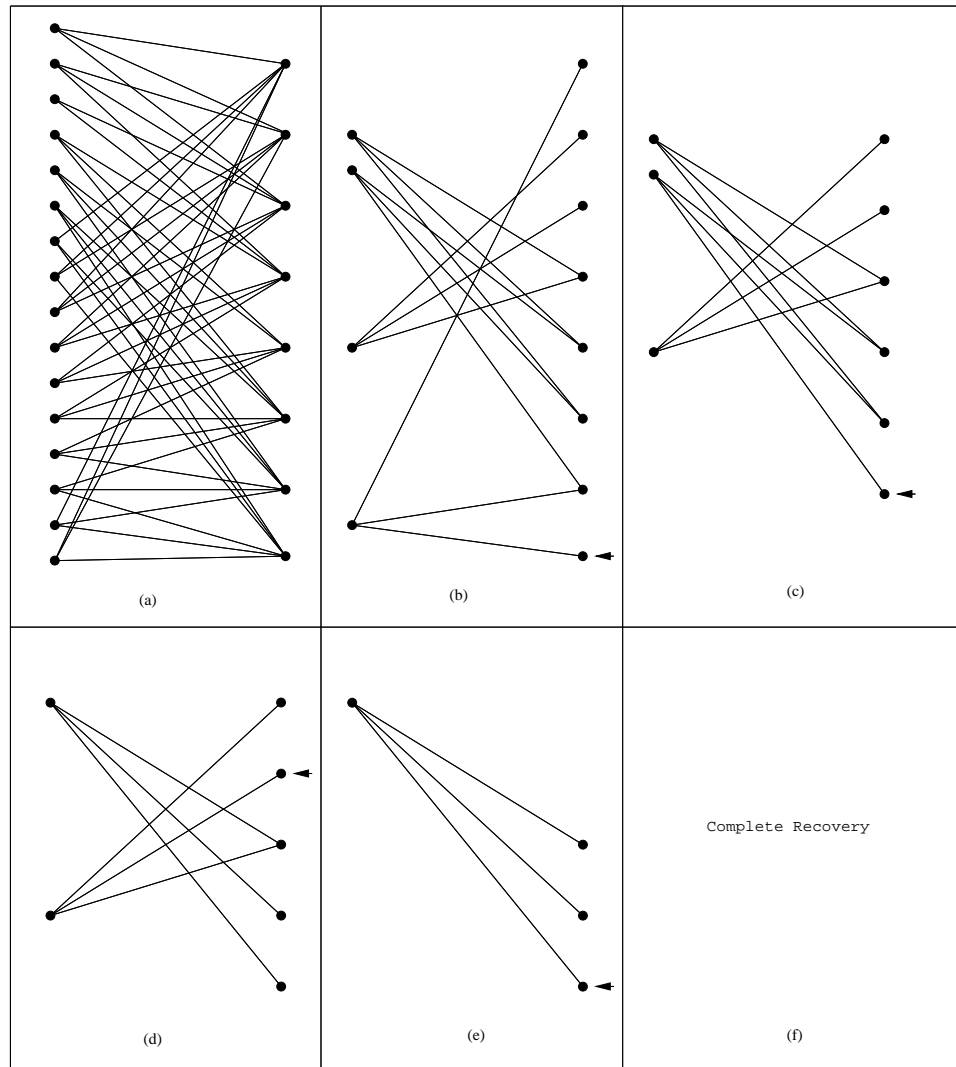


Decodieren auf dem BEC

Phase 2: Substitution



Beispiel



Das (inverse) Problem

Haben: schnellen Decodieralgorithmus.

Wollen: Codes entwerfen die viele Fehler mittels dieser Algorithmen korrigieren können.

Betrachten im folgenden den BEC.

Experimente

Wähle reguläre Graphen.

Ein (d, k) -regulärer Graph hat mindestens Rate $1 - d/k$. Kann höchstens einen d/k -Anteil von Auslöschungen korrigieren.

Wähle zufälligen (d, k) -Graphen.

p_0 := Maximaler Anteil von korrigierbaren Auslöschungen.

d	k	d/k	p_0
3	6	0.5	0.429
4	8	0.5	0.383
5	10	0.5	0.341
3	9	0.33	0.282
4	12	0.33	0.2572

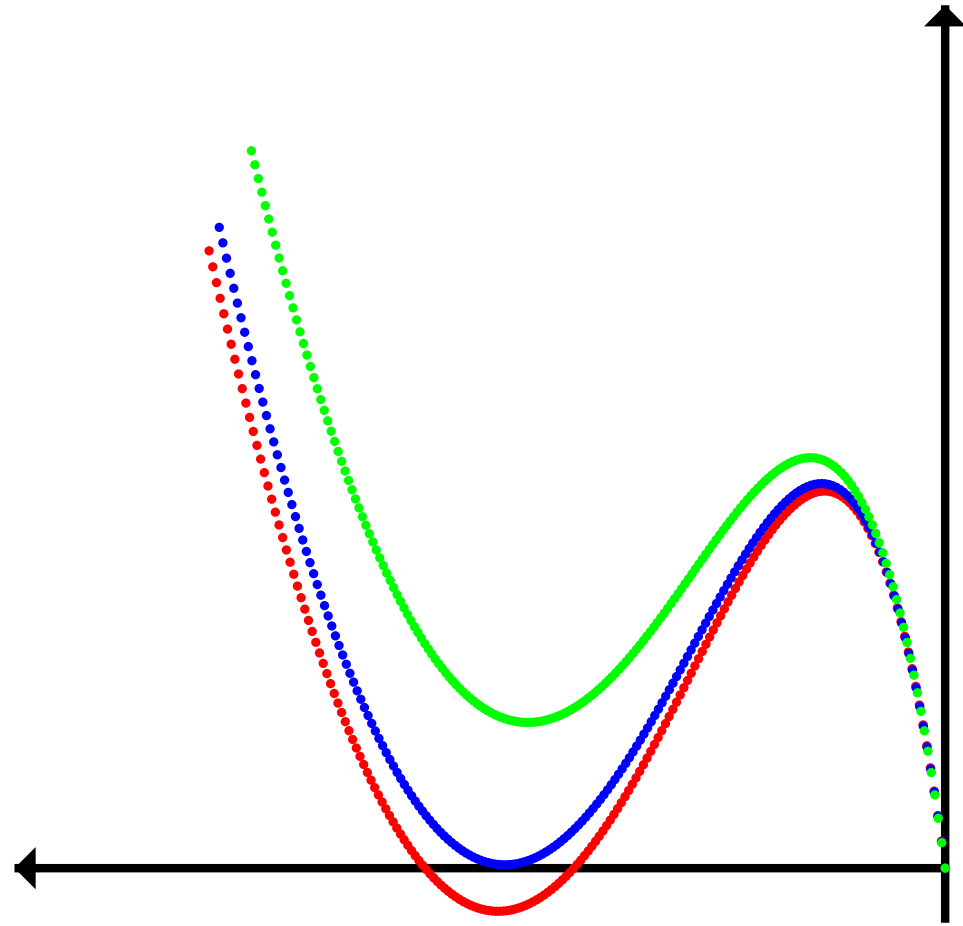
Wo kommen die Zahlen her?

Das Theorem

Luby, Mitzenmacher, Shokrollahi, Spielman, Stemann, 1997:

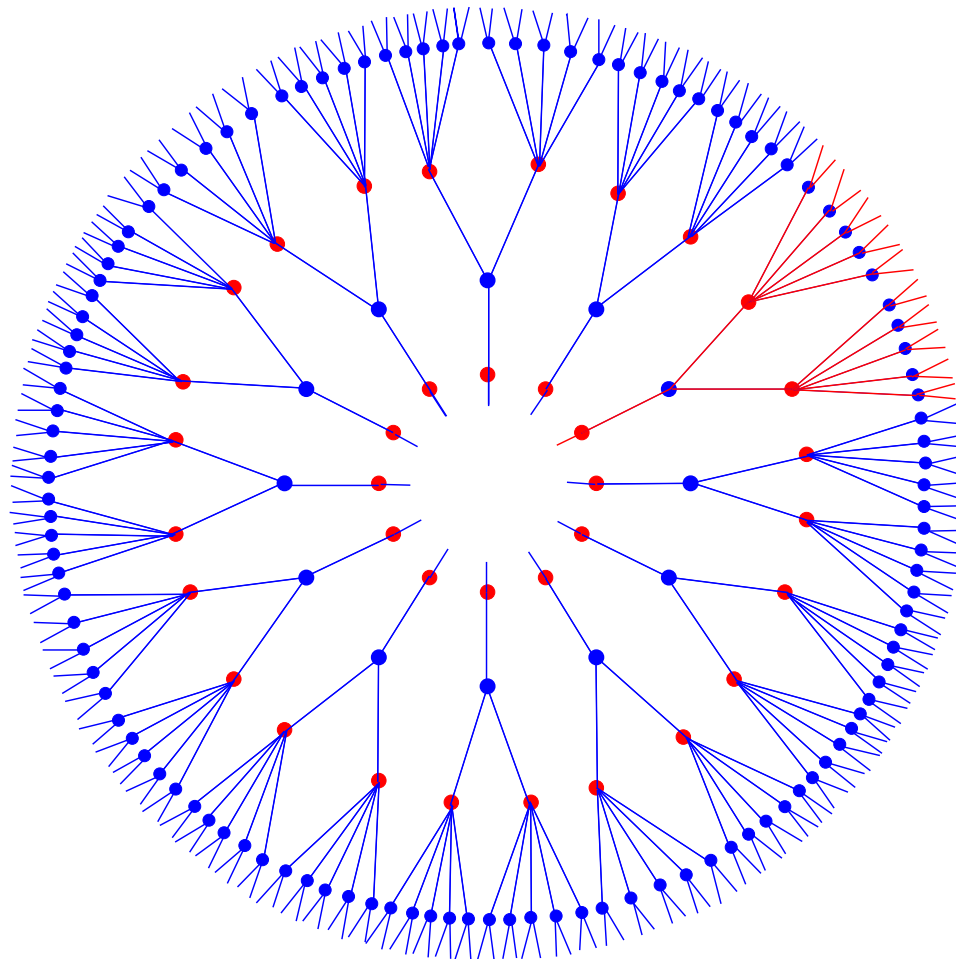
Ein zufällig gewählter (d, k) -Graph kann einen p_0 -Anteil von Auslöschungen mit hoher Wahrscheinlichkeit korrigieren dann und nur dann, wenn

$$p_0 \cdot (1 - (1 - x)^{k-1})^{d-1} < x \quad \text{for } x \in (0, p_0).$$



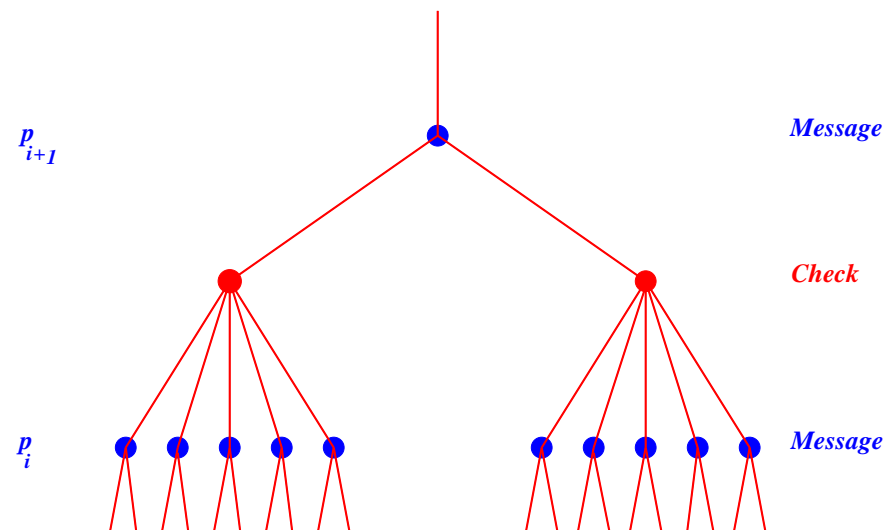
Analyse: (3, 6)-Graphen

Expandiere Nachbarschaft von Nachrichtenknoten.



Analyse: (3, 6)-Graphen

p_i Wahrscheinlichkeit, daß Nachrichtknoten nach der i -ten Iteration **nicht korrigiert** ist.



$$p_{i+1} = p_0 (1 - (1 - p_i)^5)^2 < p_i.$$

Analyse: (3, 6)-Graphen

Rigoroses Argument:

- Nachbarschaft ist **Baum**: **Mit hoher Wahrscheinlichkeit**. Standardargument.
- Obiges Argument funktioniert für **erwarteten Anteil** von Auslöschungen in der i -ten Iteration.

Eigentlicher Wert ist **konzentriert** um den Erwartungswert p_ℓ : **Edge exposure martingale, Azumas Ungleichung**.

Der allgemeine Fall

λ_i und ρ_i Anteil der Kanten vom Grad i auf der linken und der rechten Seite des Graphen.

$$\lambda(x) := \sum_i \lambda_i x^{i-1}, \quad \rho(x) := \sum_i \rho_i x^{i-1}.$$

Bedingung für erfolgreiches Decodieren bei Auslöschungswahrscheinlichkeit p_0 :

$$p_0 \lambda(1 - \rho(1 - x)) < x$$

für alle $x \in (0, p_0)$.

Belief Propagation

Richardson-Urbanke, 1999:

f_ℓ : Wahrscheinlichkeitsdichtefunktion der Nachrichten von Check-Knoten zu Nachrichtenknoten in Runde ℓ des Algorithmus.

P_0 : Dichte des Originalfehlers (in **log-likelihood Darstellung**, d.h., $\log \frac{p(x=1)}{p(x=-1)}$).

Betrachten (d, k) reguläre Graphen.

$$\Gamma(f_{\ell+1}) = \left(\Gamma(P_0 \otimes f_\ell^{\otimes(k-1)}) \right)^{\otimes(d-1)},$$

wobei

$$\Gamma(f)(y) := f(\ln \coth y/2) / \sinh(y),$$

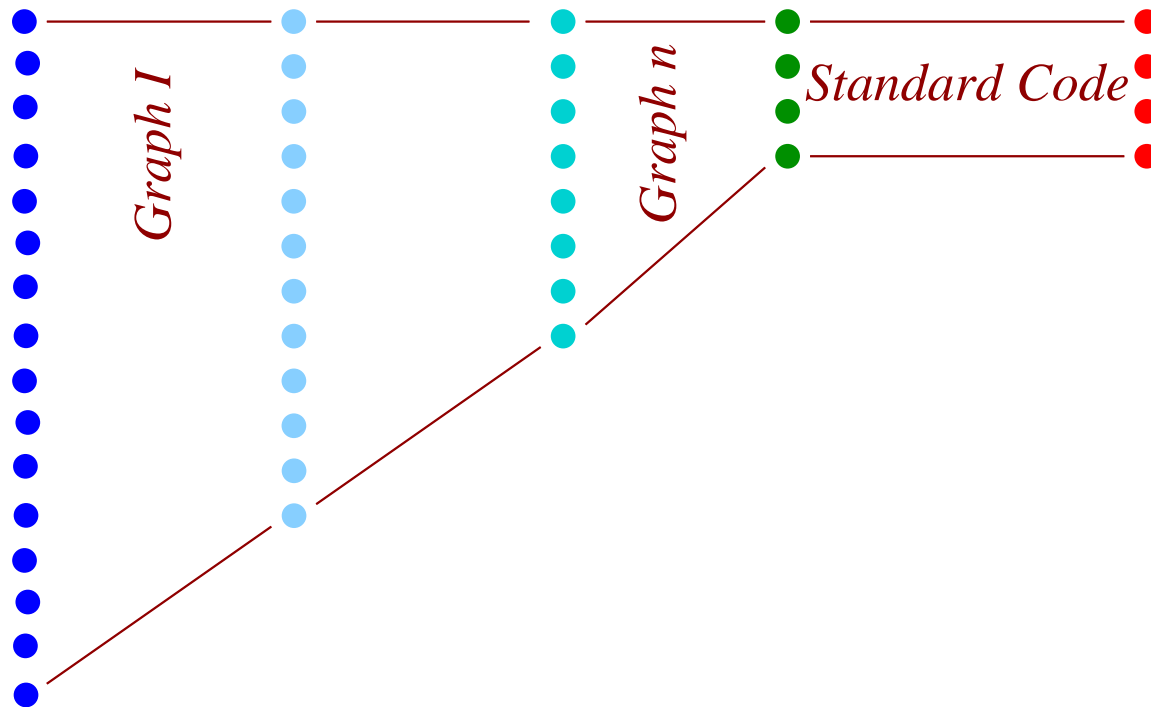
und \otimes für **Faltung** steht.

Wollen, daß f_ℓ gegen **Delta Funktion in ∞** konvergiert.

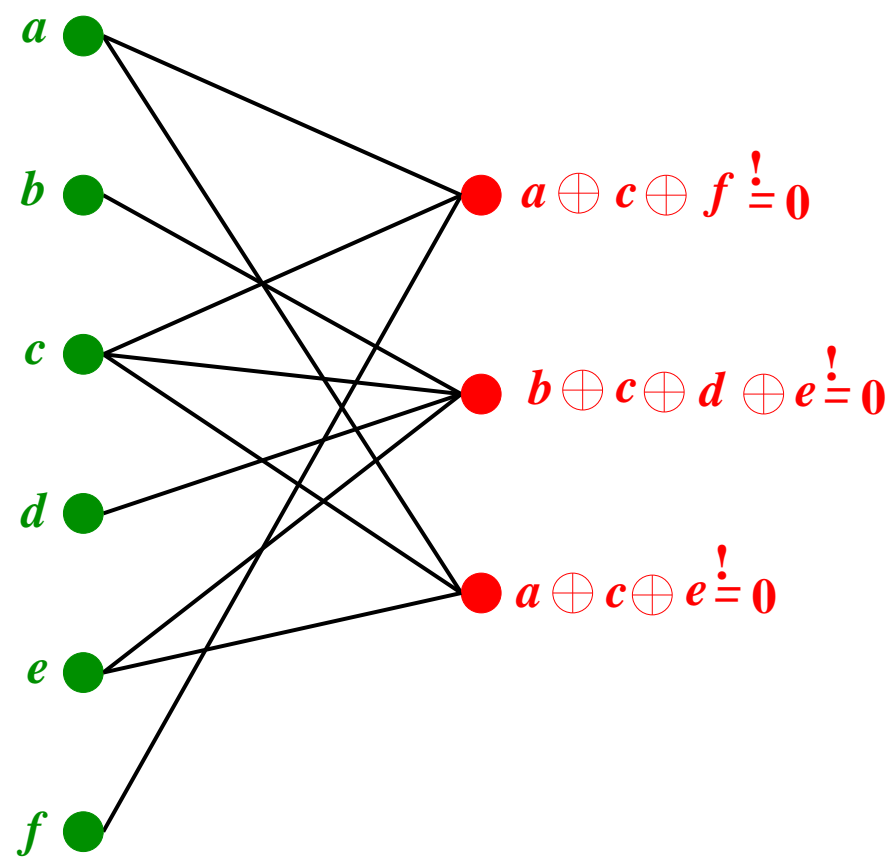
Hochdimensionales Optimierungsproblem.

Codierung

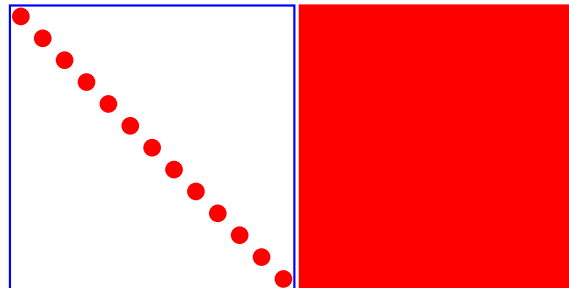
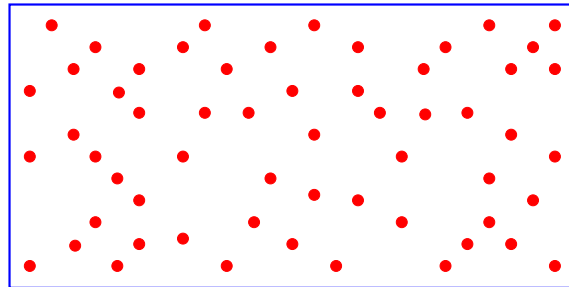
Spielman, 1995: Trivial für duale Konstruktion, aber Kasakde von Graphen nötig.



Codierung: Gallager Konstruktion



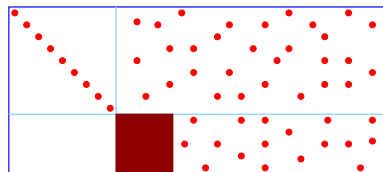
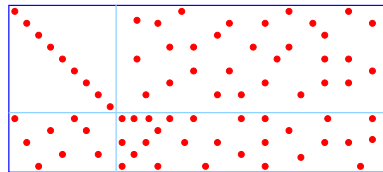
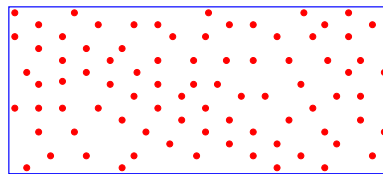
Codierung: Gallager Konstruktion



In quadratischer Zeit.

Codierung: Gallager Konstruktion

Verwende **Auslöschungskorrektur!**



Müssen **kleinere** Matrix invertieren.

Codierung

Richardson-Urbanke, 1999: Unter leichten Bedingungen ist Codierung in Linearzeit möglich.

Genauer brauchen wir:

- Genug Nachrichtenknoten vom Grad 2: $\lambda_2 \rho'(1) > 1$.
- $\rho(1 - \lambda(1 - x)) < x$ für $x \in (0, 1)$.

(3, 6)-Graph kann in Zeit $(0.07n)^2$ codiert werden.

Kapazitätsoptimalität

Wollen Codes **entwerfen**, die asymptotisch einen $1-R$ -Anteil Auslöschung korrigieren können.

Wollen λ und ρ so entwerfen, daß

$$p_0 \lambda(1 - \rho(1 - x)) < x$$

für **alle** $x \in (0, p_0)$, und p_0 **beliebig** nahe an

$$1 - R = \frac{\int_0^1 \rho(x) dx}{\int_0^1 \lambda(x) dx}.$$

Tornado Codes

Extrem **irreguläre** Graphen, die für **jede** Rate R Folgen von Codes liefern, die beliebig nahe an der Kapazität des Auslöschungskanals sind.

Gradstruktur?

Wähle **Entwurfsparameter** D .

$$\lambda(x) := \frac{1}{H(D)} \left(x + \frac{x^2}{2} + \dots + \frac{x^D}{D} \right)$$

$$\rho(x) := \exp(\mu(x - 1)),$$

wobei $H(D)$ die **harmonische Summe** ist $1 + 1/2 + \dots + 1/D$ and $\mu = H(D)/(1 - 1/(D + 1))$.

Rechtsreguläre Codes

Shokrollahi, 1999:

Graphen, die auf der rechten Seite **regulär** sind.

Gradstruktur auf der linken Seite: Taylor-Entwicklung von

$$(1 - x)^{1/m}.$$

Wahrscheinlich **beste** Folge.

Oswald und Shokrollahi, 2000:

Weitere Folgen und funktionentheoretischer Ansatz.

Andere Kanäle?

f Dichtefunktion.

$$\lambda(f) := \sum_i \lambda_i f^{\otimes(i-1)}.$$

$$\rho(f) := \sum_i \rho_i f^{\otimes(i-1)}.$$

$$\Gamma(f_{\ell+1}) = \rho(\Gamma(P_0 \otimes \lambda(f_\ell))).$$

Wollen P_0 , so daß $f_\ell \rightarrow \Delta_\infty$.

Bedingungen

Richardson-Shokrollahi-Urbanke, 1999:

- **Symmetrie:** $f(x) = f(-x)e^x$ (falls Kanal symmetrisch).
- **Fixpunktsatz:** Falls $\int_{-\infty}^0 f_i dx = \int_{-\infty}^0 f_j dx$ für $i < j$, dann ist $f_i = f_j$ Fixpunkt der Iteration.
- **Stabilität:** Sei $r := -\lim_{n \rightarrow \infty} \frac{1}{n} \log \int_{-\infty}^0 (dx P_0^{\otimes n})$, und $\lambda_2 \rho'(1) > e^r$.
Dann existiert ϵ , so daß für alle ℓ gilt: $\int_{-\infty}^0 (dx f_\ell) > \epsilon$.
(Falls $\lambda_2 \rho'(1) < e^r$, dann ist Fixpunkt Δ_∞ stabil.)

Stabilität

- **Auslöschungskanal** mit Auslöschungswahrscheinlichkeit p_0 :

$$\lambda_2 \rho'(1) \leq \frac{1}{p_0}.$$

- **BSC** mit Wahrscheinlichkeit p :

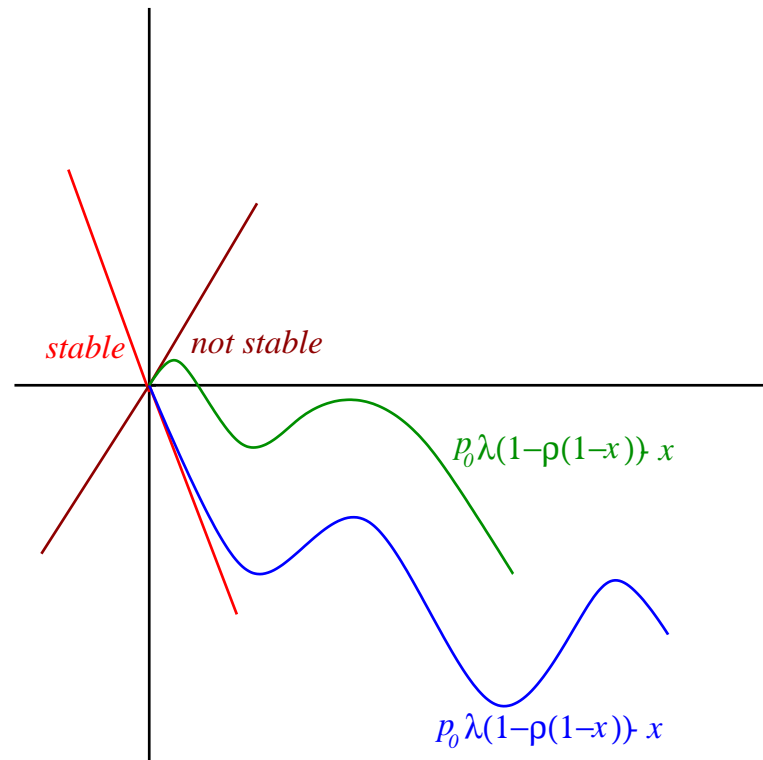
$$\lambda_2 \rho'(1) \leq \frac{1}{2\sqrt{p(1-p)}}.$$

- **AWGN Kanal** mit Varianz σ^2 :

$$\lambda_2 \rho'(1) \leq e^{-\frac{1}{2\sigma^2}}.$$

Stabilität für den Auslöschungskanal

Shokrollahi, 1999:



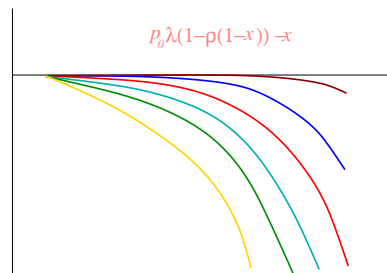
Flachheit: Höhere Stabilität

Shokrollahi, 2000:

$(\lambda_m(x), \rho_m(x))$ kapazitätsoptimal. Dann:

$$(1 - R)\lambda_m(1 - \rho_m(1 - x)) - x$$

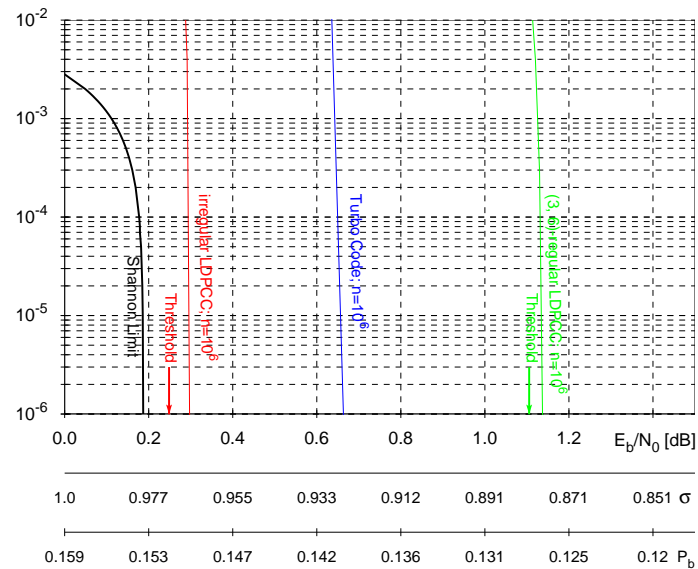
und alle Ableitungen konvergieren **uniform** gegen die Nullfunktion auf dem Intervall $[0, 1 - R]$.



Kapazitätsoptimalität

Keine kapazitätsoptimalen Gradverteilungen für andere Kanäle bekannt.

Vermutung: Sie existieren!



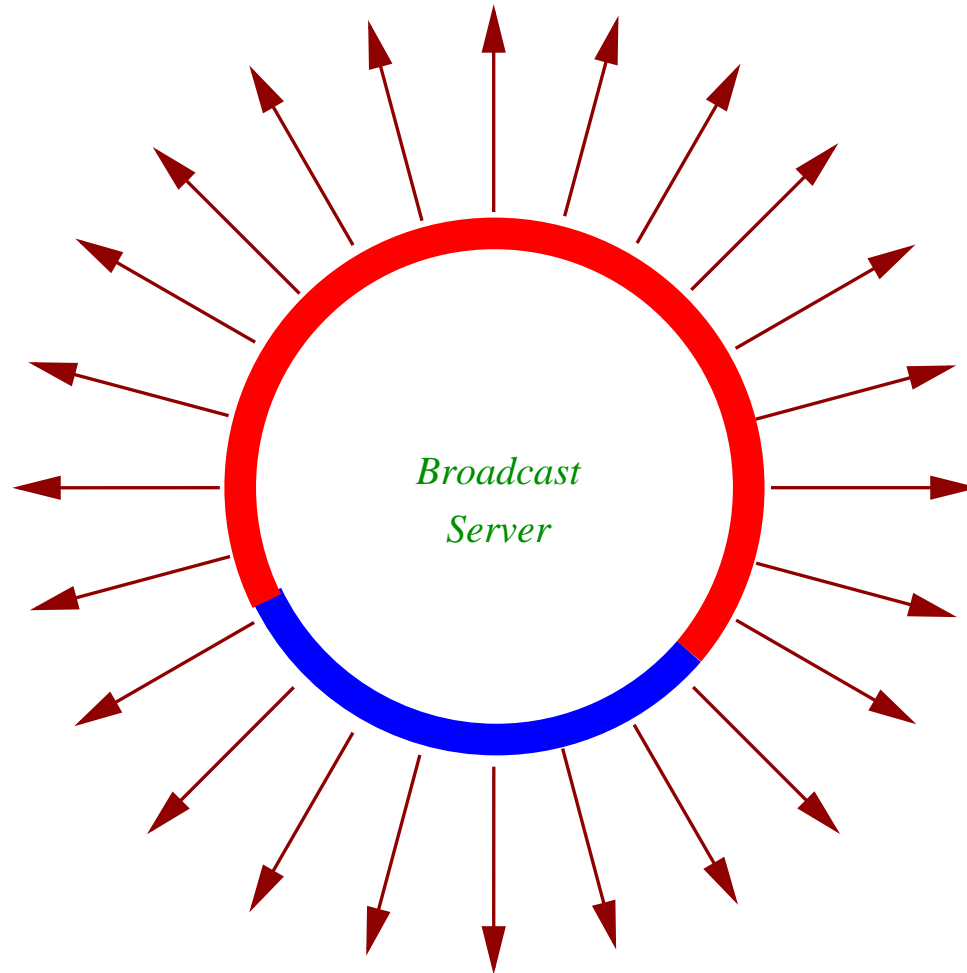
Anwendungen zu Computer-Netzwerken

Verteilung von großen Datenmengen an große Anzahl von Klienten.

Wollen:

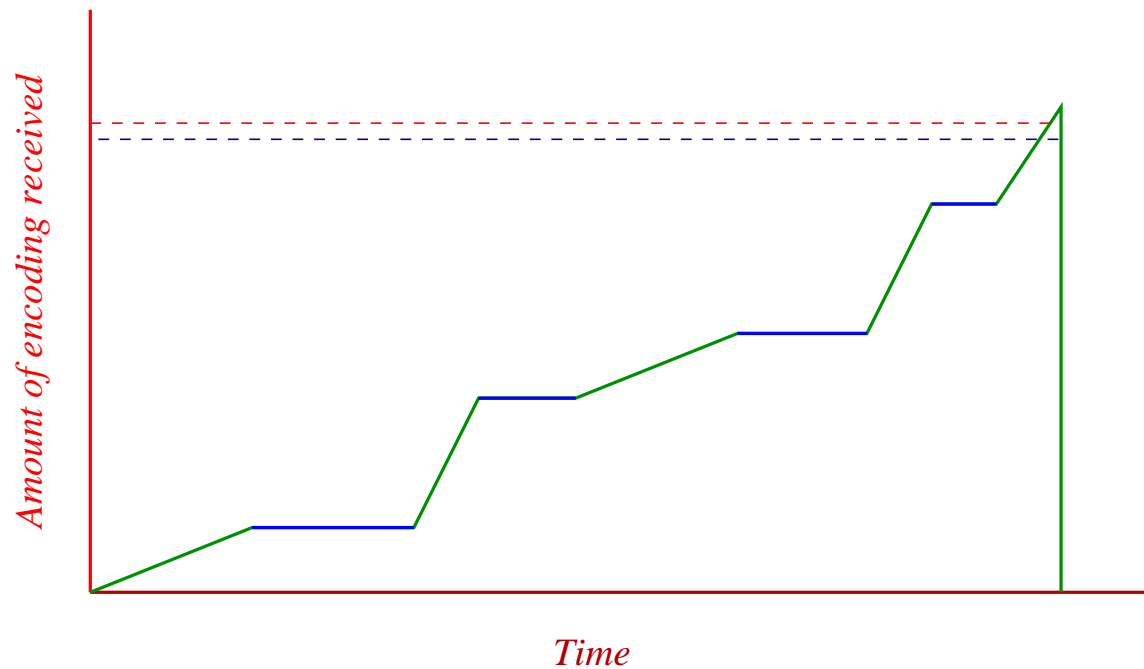
- Zuverlässigkeit,
- Wenig Netzwerk-Overhead,
- Unterstützung von vielen Empfängern mit heterogenen Charakteristiken,
- daß Benutzer die Daten zu beliebigen Zeiten herunterladen und das Download unterbrechen können.

Eine Lösung



Eine Lösung

Klient meldet sich bei der Multicast-Gruppe an, bis er **genug** Daten erhalten hat, und **decodiert Originaldaten**.



Offene Fragen

Asymptotische Theorie

1. **Klassifikation** kapazitätsoptimaler Gradfolgen für den Auslöschungskanal.
2. **Kapazitätsoptimale Folgen** für **andere** Kanäle.
3. **Exponentiell kleine** Fehlerwahrscheinlichkeit des Decodierers (anstatt **polynomiell klein**).

Explizite Konstruktionen

1. Konstruktionen mittels **endlicher Geometrien**.
2. Konstruktion mittels **Reed-Solomon-Codes**.
3. **Algebraische** Konstruktionen.

Kurze Codes

Graphen mit **Zyklen**.

Algorithmische Fragen

1. Entwurf und Analyse von neuen Decodieralgorithmen.
2. Entwurf von neuen Codierern.

Anwendungen

Paket-orientierte Mobilfunknetzwerke.